

大学物理

张磊 (13072919527)

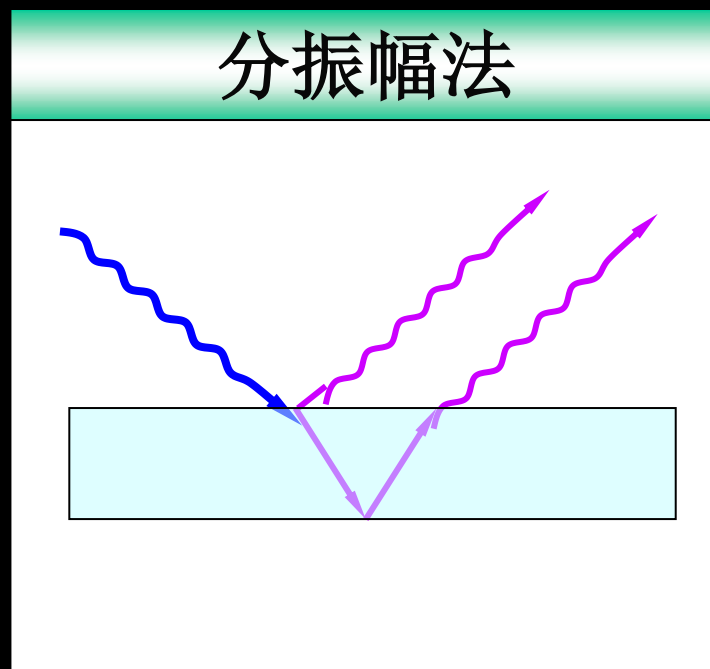
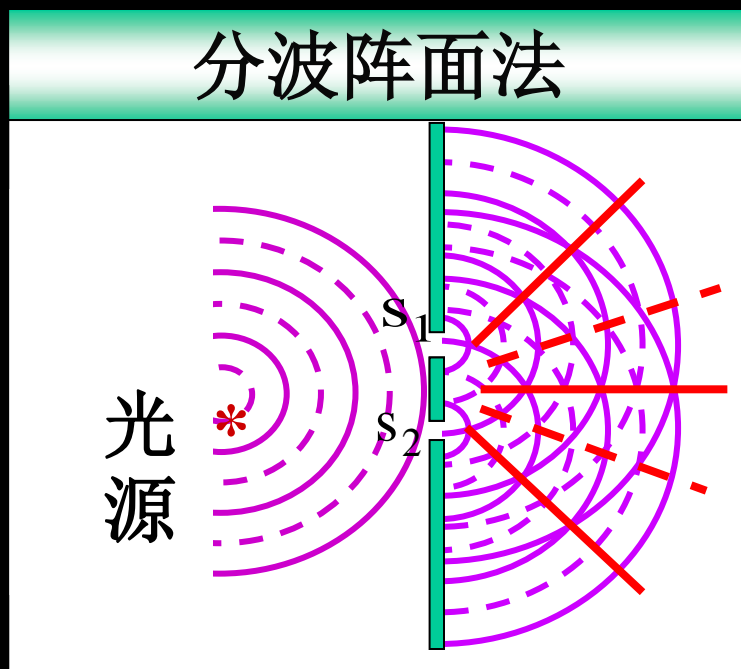
B824, Cyrus Tang Building



获得相干光的方法 杨氏实验

原理：将同一光源上同一点或极小区域发出的一束光分成两束
这两束光满足相干条件，是相干光；让它们经过不同的传播路径后，再使它们相遇，发生干涉现象

获得相干光的方法 {
1. 分波阵面法（杨氏实验）
2. 分振幅法（薄膜干涉）



光程和光程差

光程是一个折合量，在相位改变相同的条件下，把光在介质中传播的路程折合为光在真空中传播的路程

$$x = nr$$

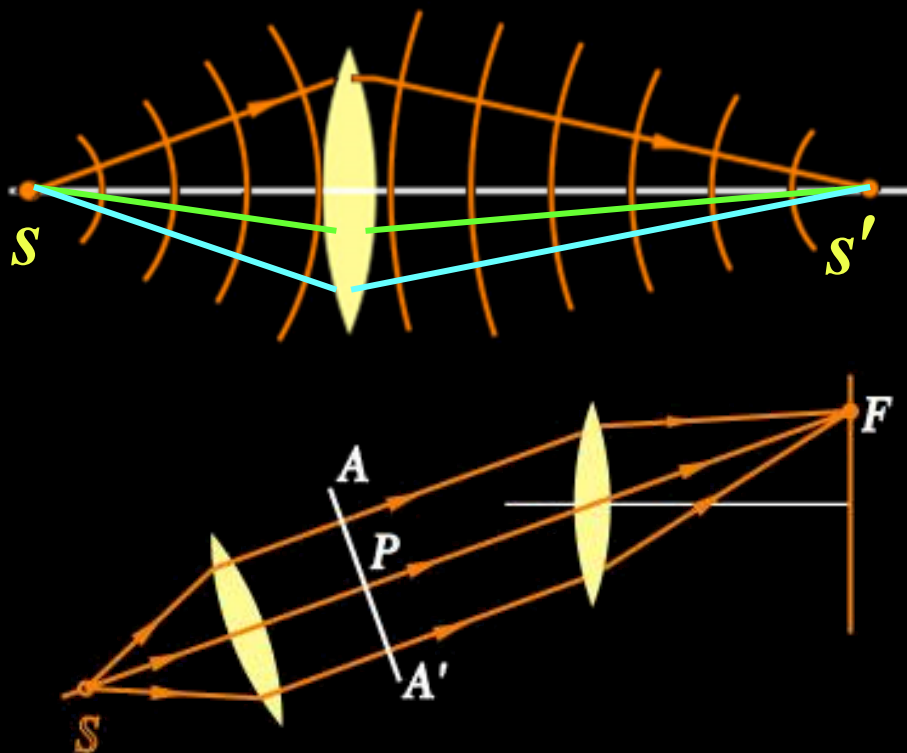
$$\Delta\varphi = \frac{2\pi}{\lambda_0} \delta$$

透镜物象等光程原理

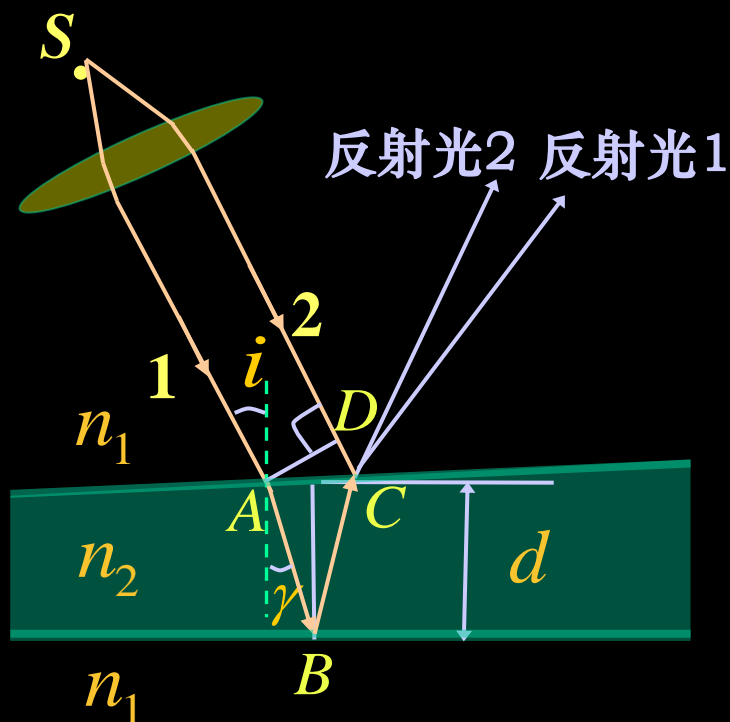
像点是物点光线经透镜后干涉加强点

物点发出的经透镜折射后到像点的所有光线的光程相等

透镜能改变物象间光线传播方向，但不附加光程差



薄膜干涉之等厚干涉(厚度不均匀的薄膜)



$$\delta = 2n_2 d \cos \gamma + \frac{\lambda}{2}$$

$$= \begin{cases} 2k \cdot \frac{\lambda}{2} & k = 1, 2, \dots \text{相长干涉} \\ (2k + 1) \cdot \frac{\lambda}{2} & k = 0, 1, 2, \dots \text{相消干涉} \end{cases}$$

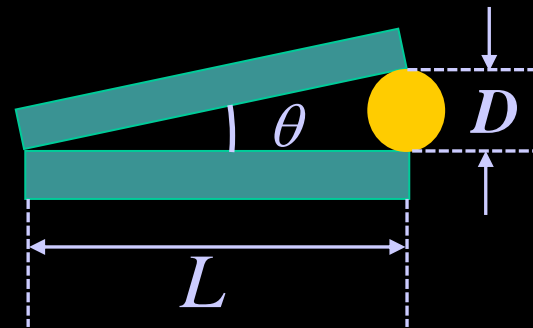
例 为了测量一根细的金属丝直径 D ，按图办法形成空气劈尖，用单色光照射形成等厚干涉条纹，用读数显微镜测出干涉明条纹的间距，就可以算出 D 。已知 单色光波长为 589.3 nm ，测量结果是：金属丝与劈尖顶点距离 $L=28.880 \text{ mm}$ ，第1条明条纹到第 31 条明条纹的距离为 4.295 mm

求 金属丝直径 D

解 $\sin \theta \approx \frac{D}{L} \quad a \cdot \frac{D}{L} = \frac{\lambda}{2} \quad D = \frac{L}{a} \cdot \frac{\lambda}{2}$

由题知 $a = \frac{4.295}{30} = 0.14317 \text{ mm}$


直径 $D = \frac{L}{a} \cdot \frac{\lambda}{2} = \frac{28.880}{0.14317} \times \frac{1}{2} \times 0.5893 \times 10^{-3} \text{ mm}$
 $= 0.05944 \text{ mm}$



例 一平面单色光波垂直照射在厚度均匀的薄油膜上，油膜覆盖在玻璃板上，所用光源波长可连续变化，观察到500nm和700nm这两个波长的光在反射中消失。油的折射率为1.30，玻璃的折射率为1.50

求 油膜的最小厚度

解 根据题意，不需考虑半波损失，暗纹的条件为


$$\begin{cases} 2nd = (2k_1 + 1)\frac{\lambda_1}{2} \\ 2nd = [2k_2 + 1]\frac{\lambda_2}{2} \end{cases} \quad k_1 = k_2 + 1$$

$$\begin{aligned} d &= \frac{\lambda_1 \lambda_2}{2n(\lambda_2 - \lambda_1)} = \frac{500 \times 700}{2 \times 1.30 \times (700 - 500)} \\ &= 6.73 \times 10^2 (\text{nm}) \end{aligned}$$

例 在平面玻璃板上滴一滴油，用 $\lambda=576\text{nm}$ 的单色光垂直照射，从反射光中看到图示的干涉条纹。

- 问** (1) 油滴与玻璃交界处是明条纹还是暗条纹？
(2) 油膜的最大厚度是多少？ (油: $n_2=1.60$, 玻璃: $n_3=1.50$)
(3) 若油滴逐渐摊开，条纹将如何变化

解 (1) 因 $n_1 < n_2$, $n_2 > n_3$, 所以要考虑半波损失

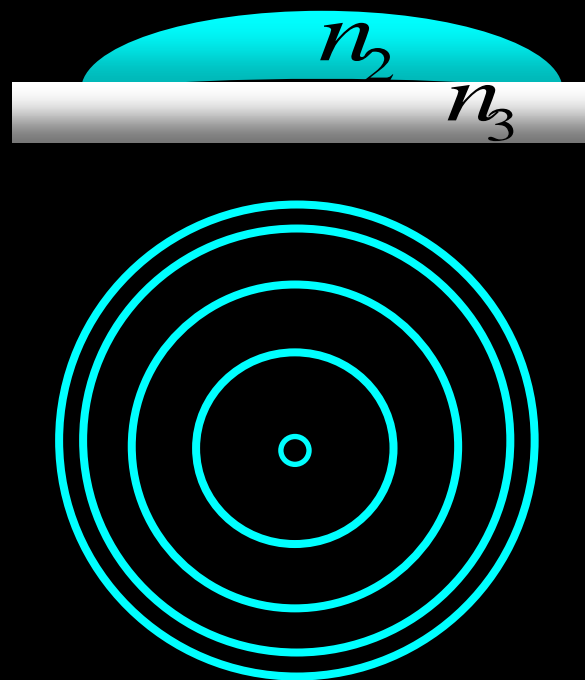
由光程差 $2n_2d + \frac{\lambda}{2} = (2k+1)\frac{\lambda}{2}$

→ 交界处 $d=0$ 对应于 $k=0$ 的暗纹

(2) 中心点为 $k=4$ 的暗纹

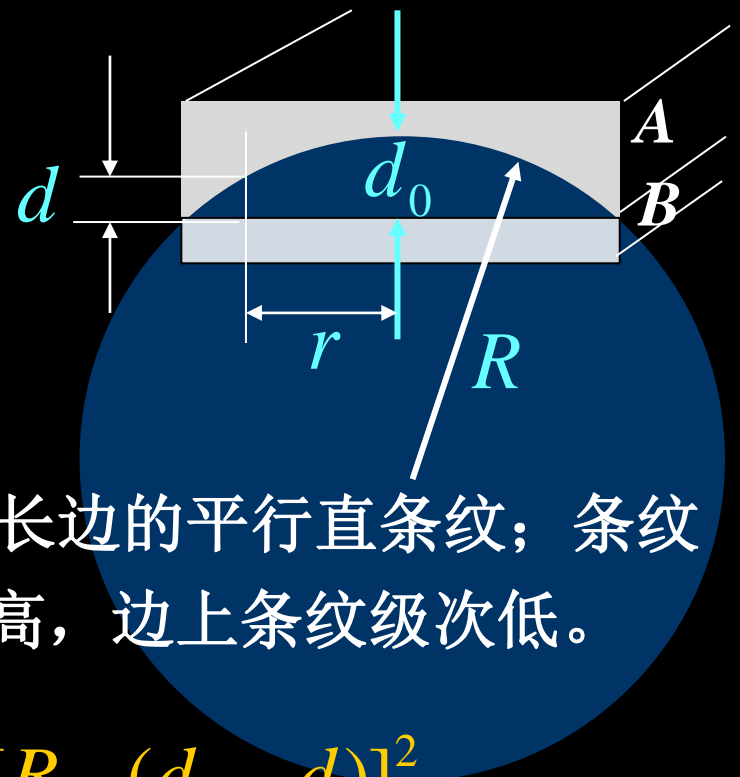
$$\therefore d_{\max} = \frac{k\lambda}{2n_2} = 7.2 \times 10^{-7} \text{ m}$$

(3) 最外暗环逐渐向外扩大，中心点明暗交替变化，条纹级数逐渐减少



例 如图A为一柱面状平凹透镜，B为一平面玻璃片。现用波长为 λ 的单色平行光自上方垂直往下照射，观察A和B间空气薄膜的反射光干涉的等厚条纹。已知 R, d_0 $d_0 = 2\lambda$

- 求**
- (1) 分析干涉条纹的特点(形状，分布，级次高低)
 - (2) 明条纹距中心线的距离
 - (3) 共能看到多少条明条纹
 - (4) 若玻璃片B向下平移，条纹如何移动？



解 (1) 关于中心对称的平行于玻璃片长边的平行直条纹；条纹中间疏两侧密；中间条纹级次高，边上条纹级次低。

$$(2) \quad \delta = 2d + \frac{\lambda}{2} \qquad R^2 = r^2 + [R - (d_0 - d)]^2$$

$$d \approx d_0 - \frac{r^2}{2R} \quad \delta = 2(d_0 - \frac{r^2}{2R}) + \frac{\lambda}{2}$$

明条纹 $\delta = 2(d_0 - \frac{r^2}{2R}) + \frac{\lambda}{2} = 2k \cdot \frac{\lambda}{2} \quad k = 1, 2, 3 \dots$

$$r = \sqrt{2Rd_0 - (k - \frac{1}{2})R\lambda} \quad k = 1, 2, 3 \dots$$

(3) 中间条纹级次高

$$\delta_{\max} = 2d_0 + \frac{\lambda}{2} = 2(2\lambda) + \frac{\lambda}{2} = 4.5\lambda$$

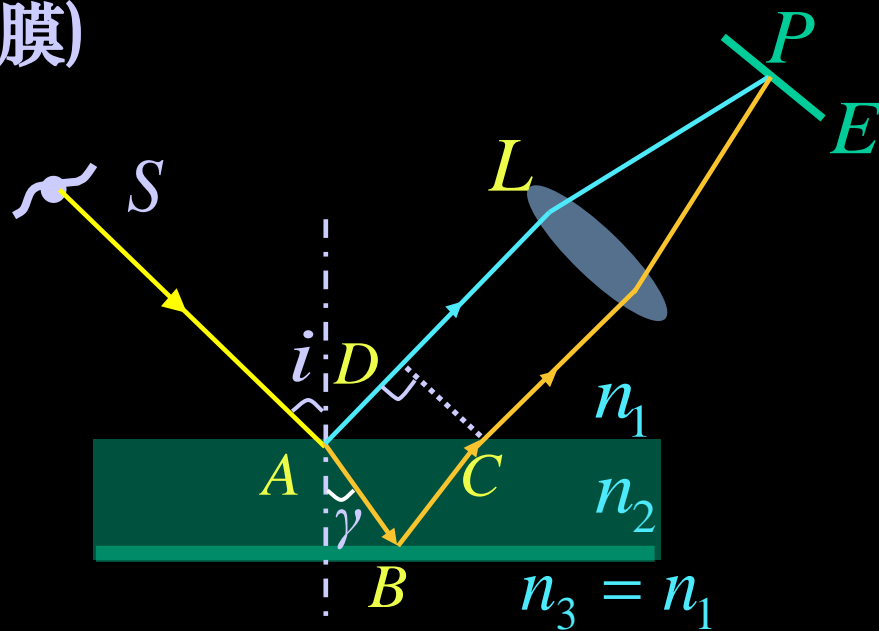
可以看到8条明条纹。

(4) 若玻璃片**B**向下平移，条纹向两侧移动。

二. 等倾干涉(厚度均匀的薄膜)

两条光线的光程差

$$\delta = n_2(AB + BC) - n_1 AD$$



*等厚干涉 (分振幅法)

两条光线的光程差

$$\delta = n_2(AB + BC) - n_1 DC$$

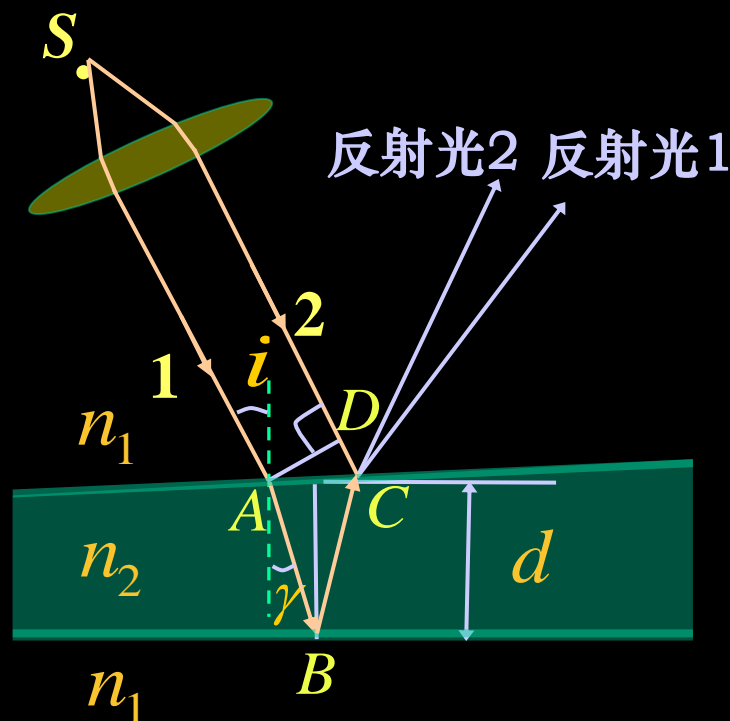
$$\begin{cases} AB = BC = d / \cos \gamma \\ DC = AC \sin i = \sin i \cdot 2d \tan \gamma \\ n_1 \sin i = n_2 \sin \gamma \end{cases}$$

光程差 $\delta = 2n_2 AB - n_1 DC$

$$= 2n_2 d / \cos \gamma - n_1 \sin i \cdot 2d \tan \gamma$$

$$= 2n_2 d \left(\frac{1}{\cos \gamma} - \sin \gamma \cdot \tan \gamma \right)$$

$$= 2n_2 d \cos \gamma$$



二. 等倾干涉(厚度均匀的薄膜)

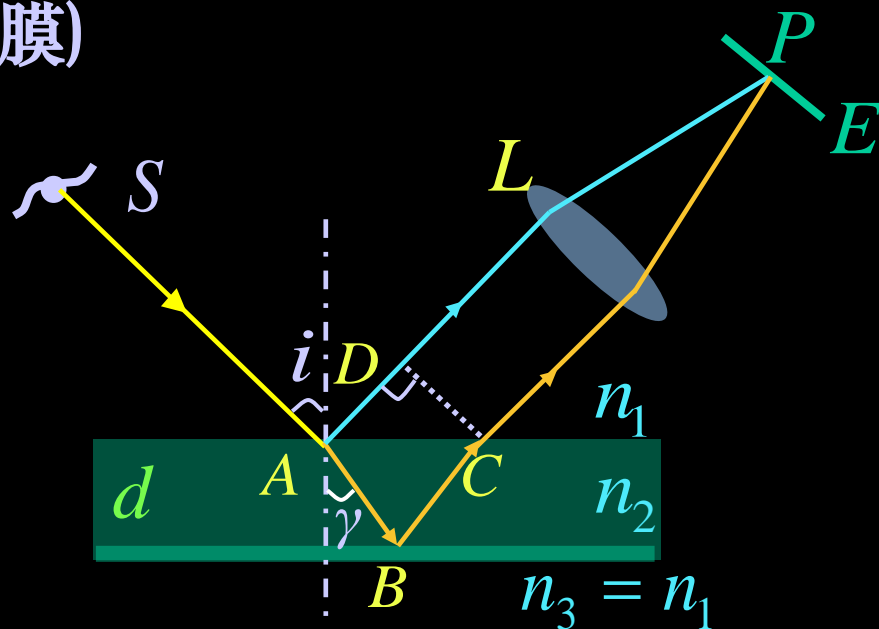
两条光线的光程差

$$\begin{aligned}\delta &= n_2(AB + BC) - n_1 AD \\ &= 2n_2 d \cos \gamma\end{aligned}$$

考虑到有半波损失

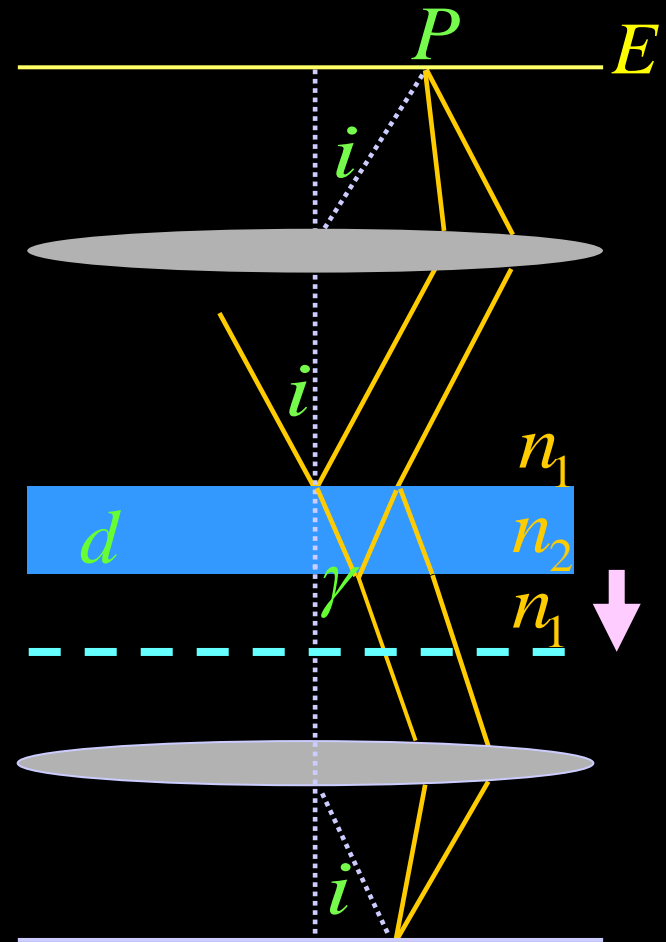
$$\delta = 2n_2 d \cos \gamma + \frac{\lambda}{2}$$

$$\delta = 2n_2 d \cos \gamma + \frac{\lambda}{2} = \begin{cases} 2k \cdot \frac{\lambda}{2} & k = 1, 2, 3 \cdots \text{相长干涉} \\ (2k + 1) \cdot \frac{\lambda}{2} & k = 0, 1, 2, \cdots \text{相消干涉} \end{cases}$$

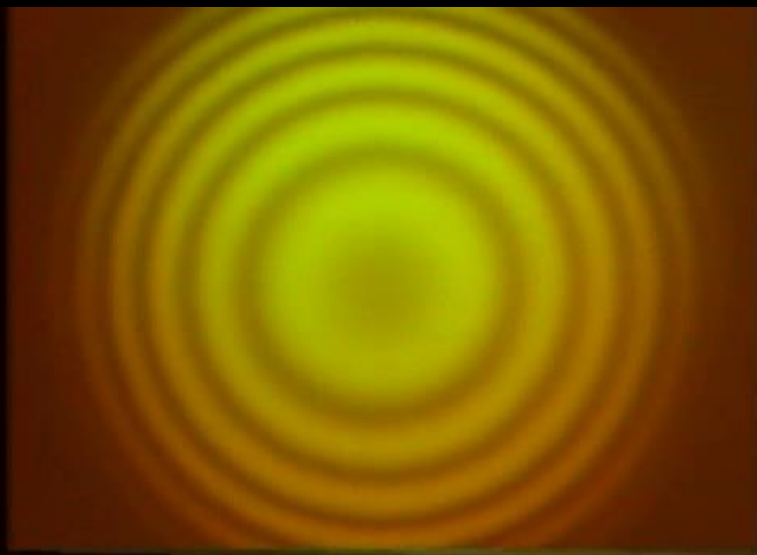


条纹特点 $\delta = 2n_2 d \cos \gamma + \frac{\lambda}{2}$

- (1) 等倾干涉条纹为一系列**同心圆环**；**内疏外密**；内圆纹的级次比外圆纹的级次高
- (2) **膜厚变化时，条纹发生移动。**
当薄膜厚度增大时，圆纹从中心冒出，并向外扩张，条纹变密
- (3) 使用**面光源**条纹更清楚明亮
- (4) **透射光图样与反射光图样互补**



薄膜干涉的一般情况是相当复杂的。其干涉的特征与光源的尺寸、膜的厚薄和形状以及如何观测都有十分密切的关系。



等倾条纹



牛顿环

如何在实验上区分上述条纹是等倾还是牛顿环？

牛顿环与等倾条纹都是**内疏外密**的**圆环形**条纹

牛 顿 环：级次由环心向外**递增**

等倾条纹：级次由环心向外**递减**

当膜层厚度减少时，牛顿环的环纹向外扩张，等倾条纹则相反

增反膜和增透膜

增透膜 在透镜表面镀一层厚度均匀的透明介质膜，使其上、下表面对某种色光的反射光产生相消干涉，其结果是减少了该光的反射，增加了它的透射。



照相机镜头



眼镜

增反膜 利用薄膜干涉原理，使薄膜上、下表面对某种色光的反射光发生相长干涉，其结果是增加了该光的反射，减少了它的透射.



激光器谐振腔



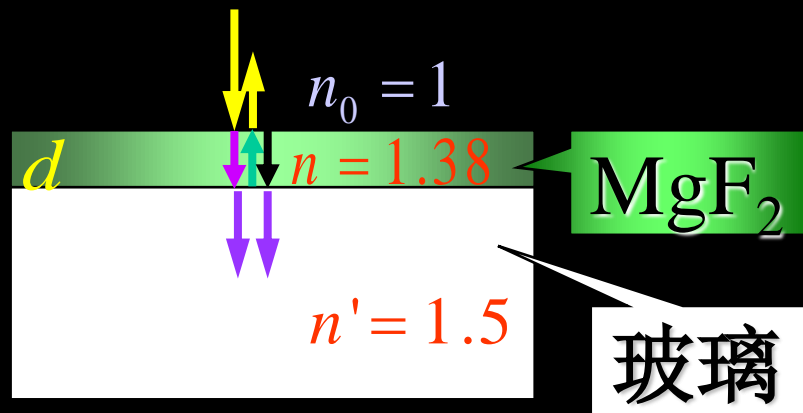
宇航服

光学薄膜的应用

1. 增透膜

在光学器件（透镜等）镀以一层薄膜以提高或降低透射率

光在膜的上下表面反射时都有半波损失



欲使透射最大，则要求**反射光干涉相消——无反射光**

$$\delta = 2nd = (2k + 1)\frac{\lambda}{2}$$

膜的最小厚度为 $d_{\min} = \frac{\lambda}{4n}$

---- 此时透射光增强

$$\text{或 } nd_{\min} = \frac{\lambda}{4}$$

即**光学厚度**为某一波长的1/4时，则膜为该波长的增透膜

2. 高反射膜(增反膜)

光在每层膜的上下表面反射时只有一个面有半波损失

第一层

$$2n_H d_H + \lambda/2 = k\lambda, k = 1, 2,$$

最小光学厚度为

$$n_H d_H = \lambda/4$$

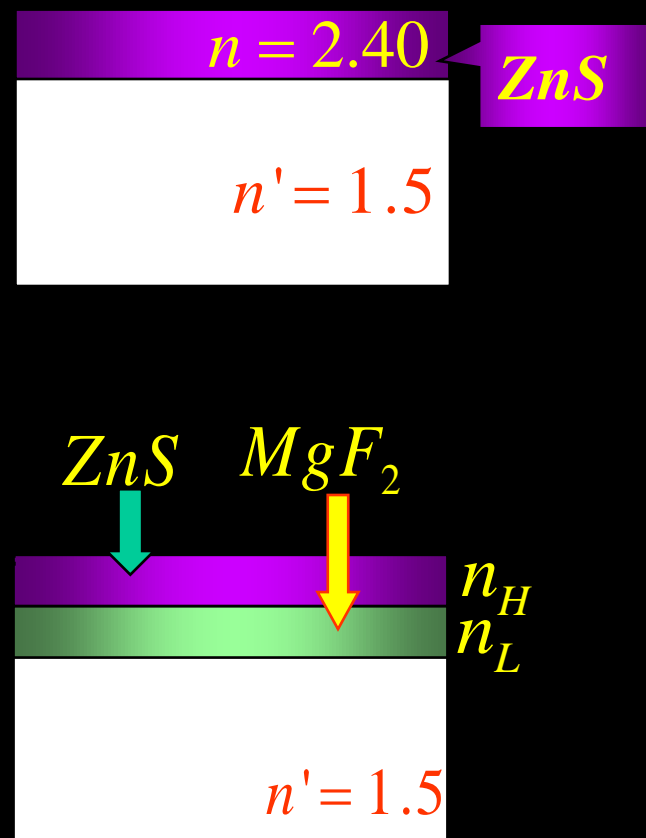
第二层

$$2n_L d_L + \lambda/2 = k\lambda, k = 1, 2,$$

最小光学厚度为

$$n_L d_L = \lambda/4$$

即每层膜的光学厚度都为 $\lambda/4$ 时，可得到该波长的高反射膜



例 波长**550 nm**黄绿光对人眼和照像底片最敏感。要使照像机对此波长反射小，可在照像机镜头上镀一层氟化镁**MgF₂**薄膜，已知氟化镁的折射率 **$n=1.38$** ，玻璃的折射率 **$n=1.55$**

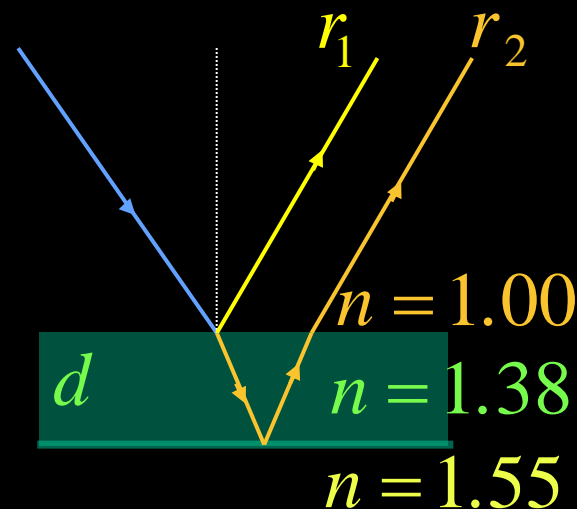
求 氟化镁薄膜的最小厚度

解 两条反射光干涉减弱条件

$$2nd = (2k + 1)\frac{\lambda}{2} \quad k = 0, 1, 2, \dots$$

增透膜的最小厚度

$$d = \frac{\lambda}{4n} = \frac{550}{4 \times 1.38} \approx 100\text{nm}$$



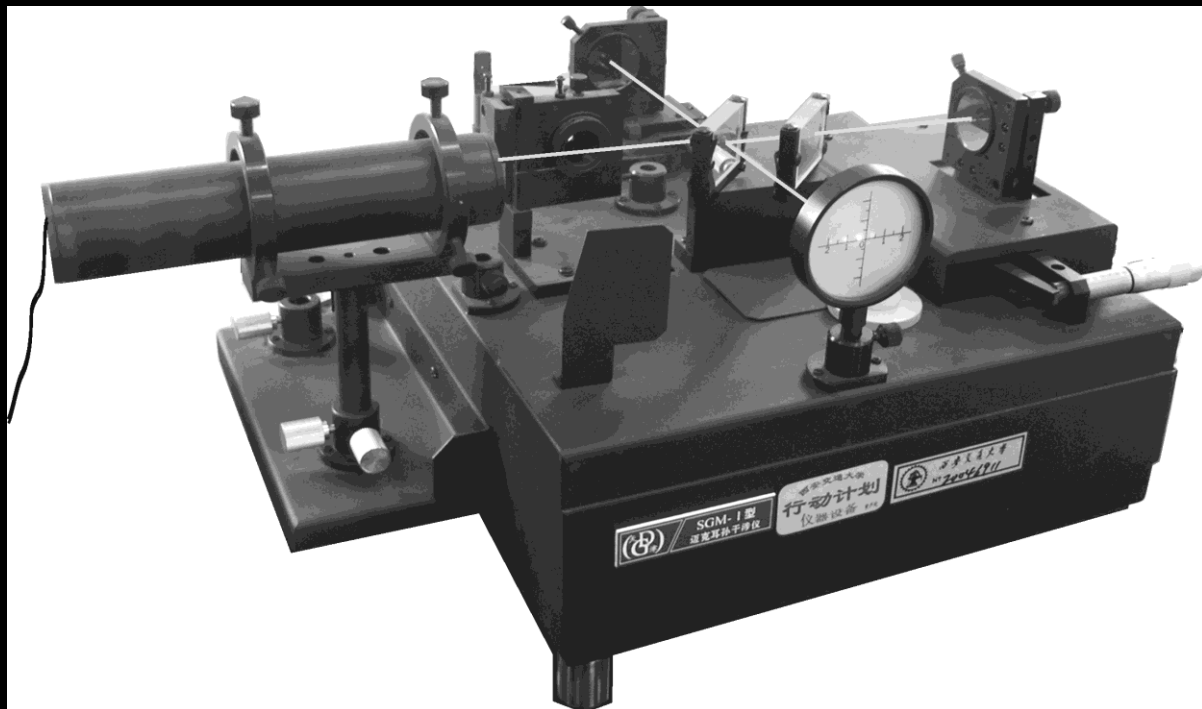
★ **说明** **增反膜** \longrightarrow 薄膜光学厚度 (**nd**) 仍可以为 $\lambda/4$
但膜层折射率 **n** 比玻璃的折射率大



镜头颜色为什么发紫？

§14.6 迈克耳逊干涉仪

一. 干涉仪结构



- 迈克尔逊是著名的实验物理学家，以精密测量光的速度和以空前的精确度进行“以太漂移实验”而闻名于世。
- 获得1907年诺贝尔物理学奖：“for his optical precision instruments and the spectroscopic and metrological investigations carried out with their aid”。

二. 工作原理

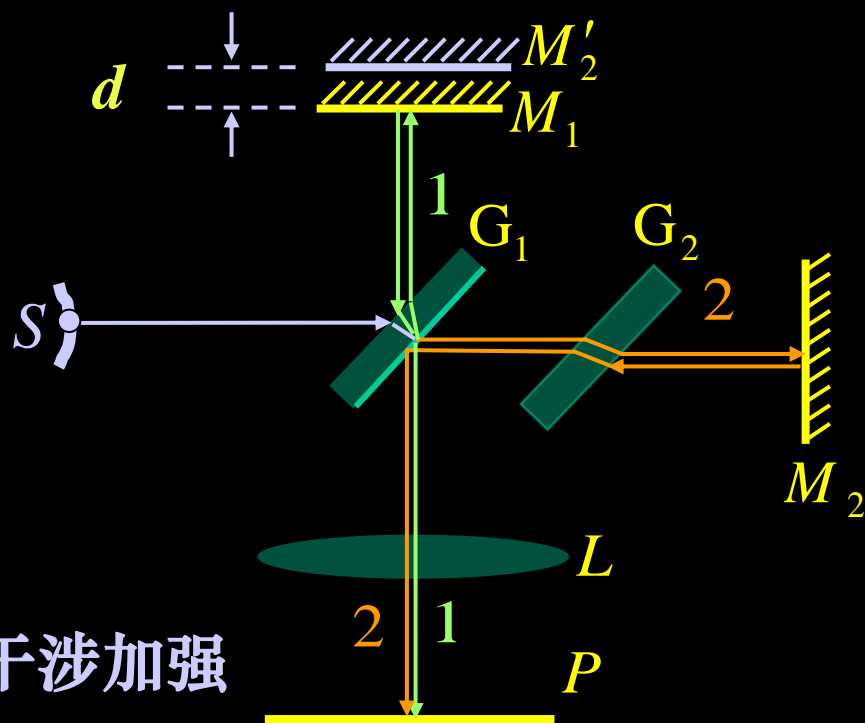
光束 1 和 2 发生干涉

光程差 $\delta = 2d$ (无半波损)

$\delta = 2d + \frac{\lambda}{2}$ (有半波损)

$2d = 2k \cdot \frac{\lambda}{2} \quad k = 1, 2, \dots$ 干涉加强

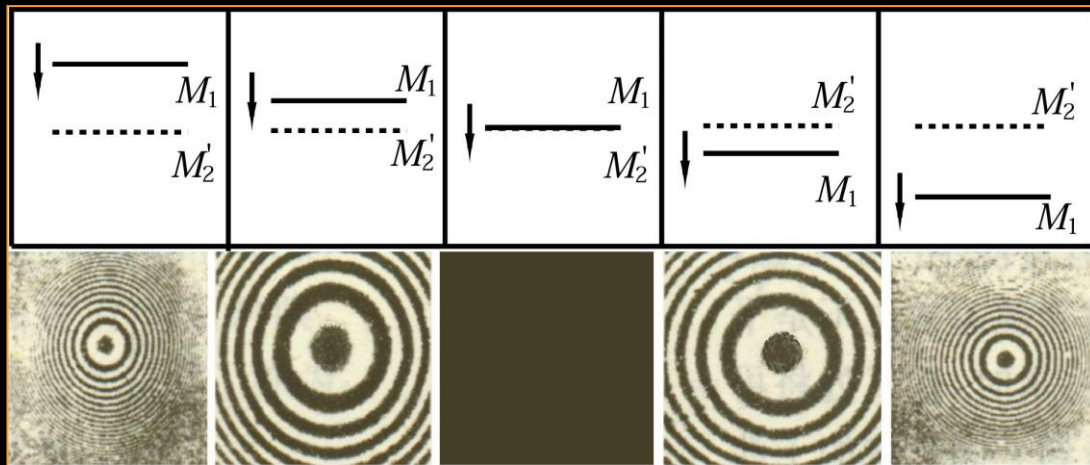
$2d = (2k + 1) \cdot \frac{\lambda}{2} \quad k = 0, 1, 2, \dots$ 干涉减弱



三. 条纹特点

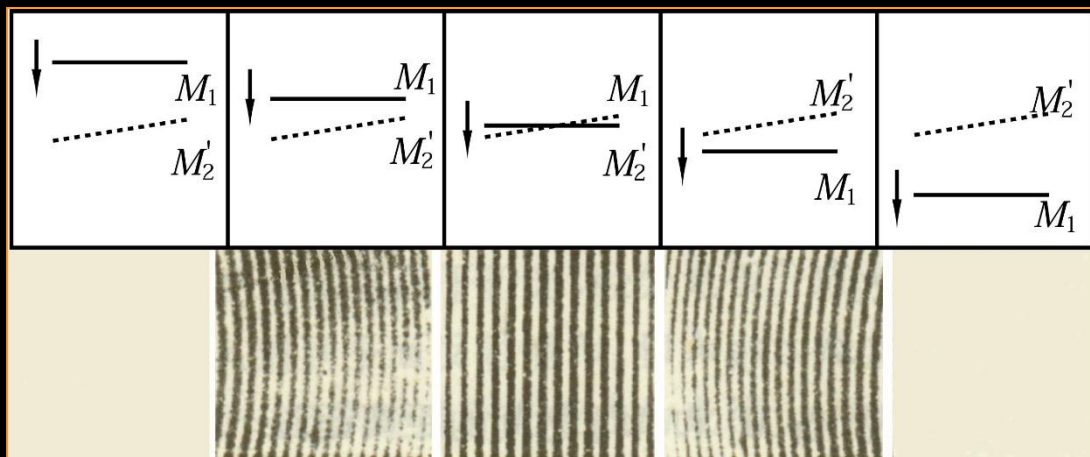
1. 若 M_1 、 M'_2 平行

等倾条纹



2. 若 M_1 、 M'_2 有小夹角

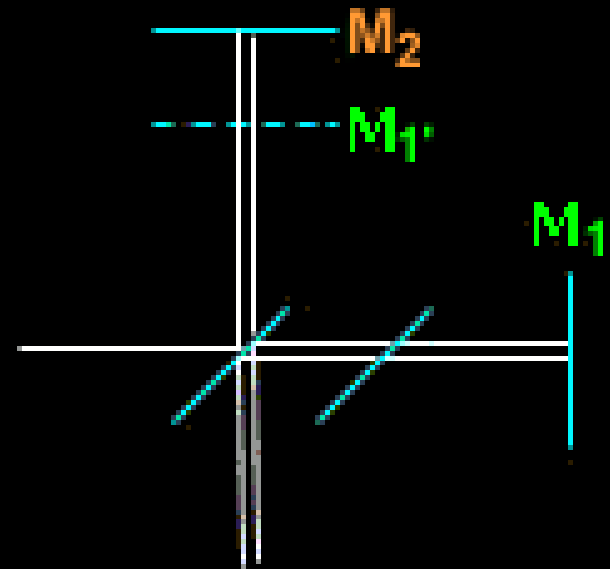
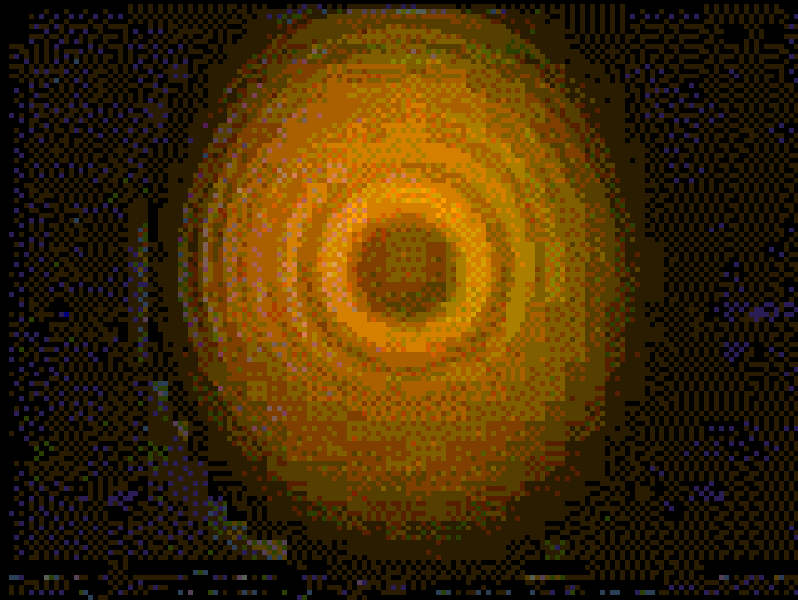
当 M_1 和 M'_2 不平行，且光平行入射，此时为等厚条纹



3. 若 M_1 平移 Δd 时，干涉条纹移过 N 条，则有

$$\Delta d = N \cdot \frac{\lambda}{2}$$

迈克耳孙等倾干涉



—— M2
- - - M1'

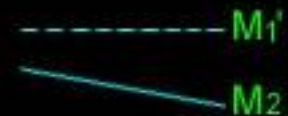
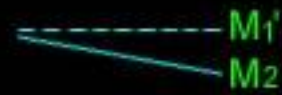
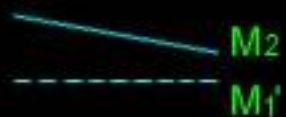
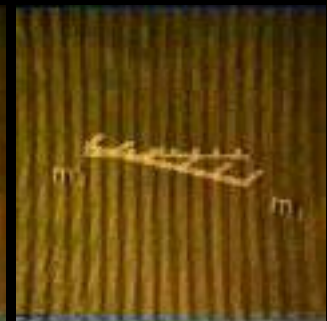
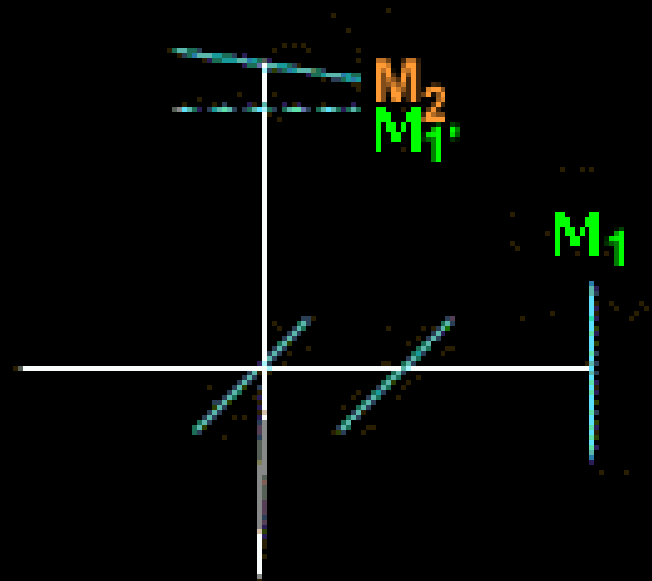
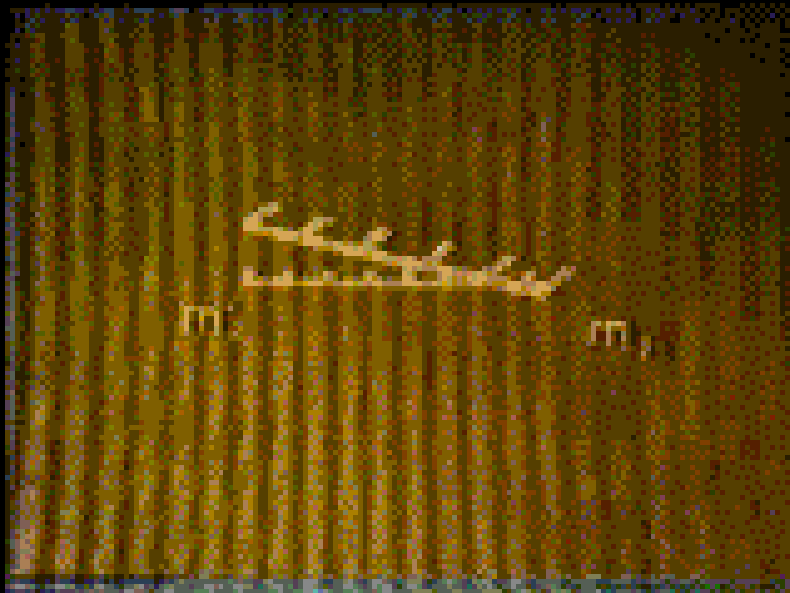
—— M2
- - - M1'

—— M2
—— M1'

- - - M1'
—— M2

- - - M1'
—— M2

迈克耳孙等厚干涉

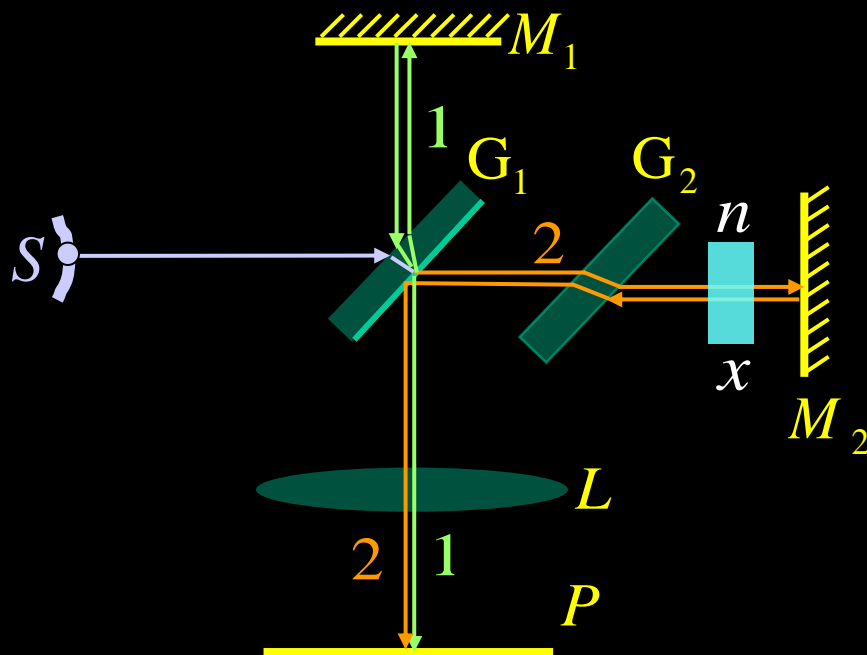


四. 应用

1. 微小位移测量 $\Delta d = N \cdot \frac{\lambda}{2}$

2. 测波长 $\lambda = \frac{2\Delta d}{N}$

3. 测折射率

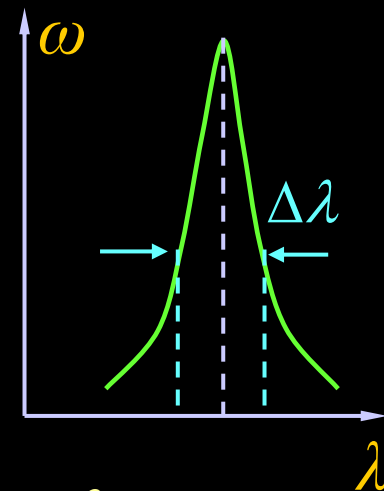


五. 时间相干性

相干长度：两光束产生干涉效应的最大光程差

相干时间：与相干长度对应的光传播时间

相干长度 L 和谱线宽度 $\Delta\lambda$ 之间的关系为 $L = \frac{\lambda^2}{\Delta\lambda}$



白光光源 $L \approx 10^{-7} \text{ m}$

氦氖激光器 $L \approx 4 \times 10^3 \text{ m}$

迈克耳逊-莫雷实验

否认了以太（绝对静止参考系）的存在，从而动摇了经典物理学基础，成为近代物理学的一个开端，在物理学发展史上占有十分重要的地位。

19 世纪流行着一种“以太”学说，它是随着光的波动理论发展起来的。那时，由于对光的本性知之甚少，人们套用机械波的概念，想像必然有一种能够传播光波的弹性物质，它的名字叫“以太”。许多物理学家们相信“以太”的存在，把这种无处不在的“以太”看作绝对惯性系，用实验去验证“以太”的存在就成为许多科学家追求的目标。

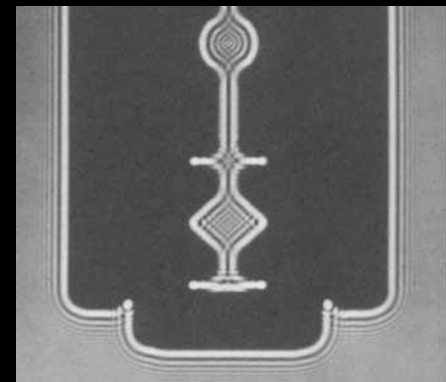
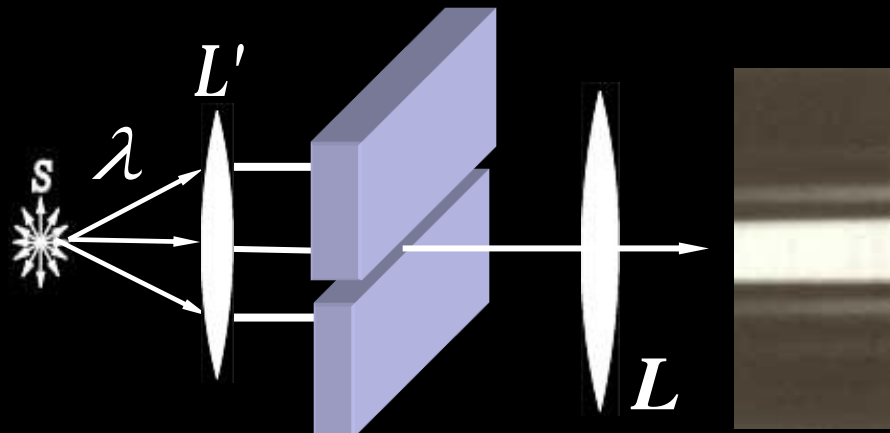
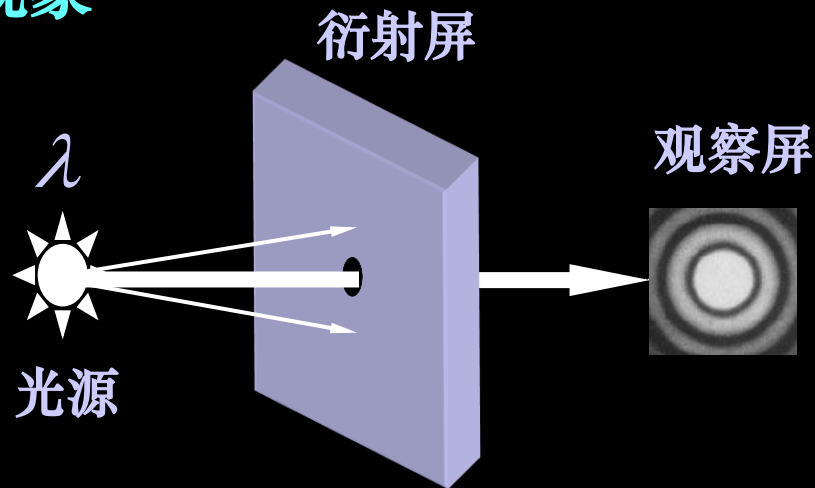
当时认为光的传播介质是“以太”。由此产生了一个新的问题：地球以每秒30公里的速度绕太阳运动，就必须会遇到每秒30公里的“以太风”迎面吹来，同时，它也必须对光的传播产生影响。这个问题的产生，引起人们去探讨“以太风”存在与否。如果存在以太，则当地球穿过以太绕太阳公转时，在地球通过以太运动的方向测量的光速（当我们对光源运动时）应该大于在与运动垂直方向测量的光速（当我们不对光源运动时）。

1905年，在洛仑兹提出光速不变观点10年后，爱因斯坦认为既然光速不变，作为静止参考系的以太就没有理由存在。于是抛弃静止参考系以太，以**光速不变原理**和**狭义相对性原理**为基本假设的基础上建立了狭义相对论。同时保留洛仑兹变换来解释迈克耳逊-莫雷实验和光速不变。

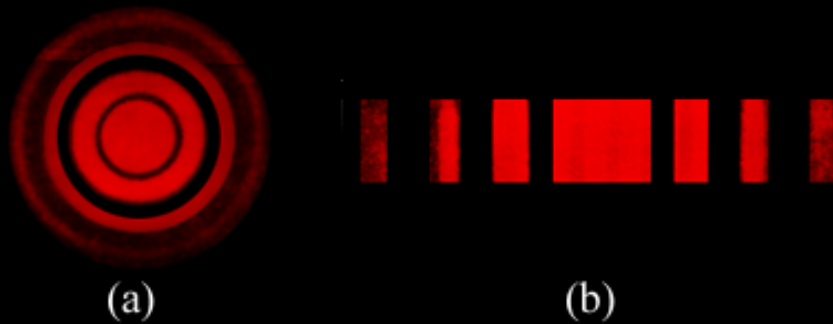
§14.7 惠更斯—菲涅耳原理

一. 光的衍射现象

1. 现象



(剃须刀边缘衍射)



圆孔衍射 单缝衍射

2. 衍射

光在传播过程中绕过障碍物的边缘而**偏离直线传播**的现象

衍射的共性：

- 光沿被限制的方向扩展
- 光强重新分配(衍射图样)

★ 说明

衍射现象是否明显取决于障碍物线度与波长的对比，波长越大，障碍物越小，衍射越明显。

二. 惠更斯—菲涅耳原理

1. 原理内容

- 同一波前上的各点发出的都是**相干次波**。
- 各次波在空间某点的**相干叠加**，就决定了该点波的强度。

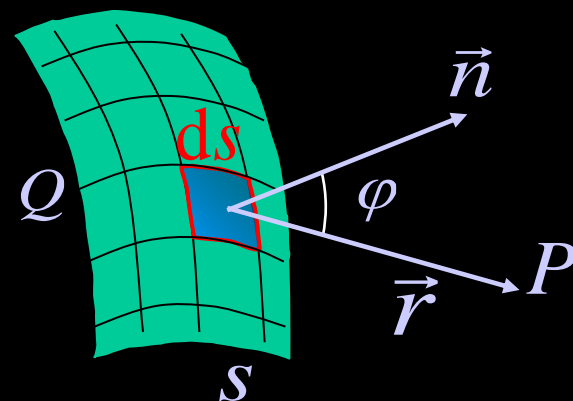
2. 原理数学表达

设初相为零，面积为 s 的波面 Q ，
其上面元 ds 在 P 点引起的振动为

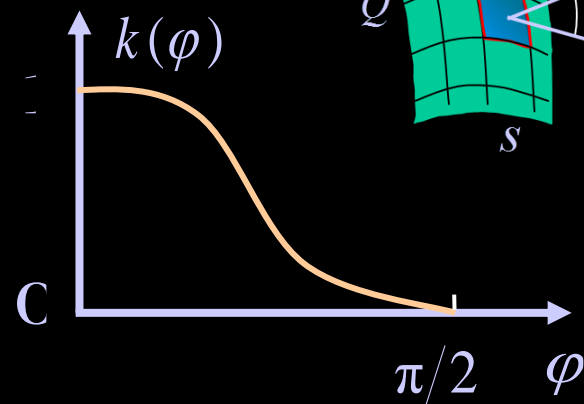
$$dE_{(p)} \propto k(\varphi) \frac{ds}{r} \cos\left(\omega t - \frac{2\pi r}{\lambda}\right)$$

$$dE_{(p)} = F(Q) k(\varphi) \frac{ds}{r} \cos\left(\omega t - \frac{2\pi r}{\lambda}\right)$$

$F(Q)$ 取决于波面上 ds 处的波强度， $k(\varphi)$ 为**倾斜因子**。



$$k(\varphi) \begin{cases} \varphi = 0, k = k_{\max} = 1 \\ \varphi \uparrow \longrightarrow k(\varphi) \downarrow \\ \varphi \geq \frac{\pi}{2}, k = 0 \end{cases}$$

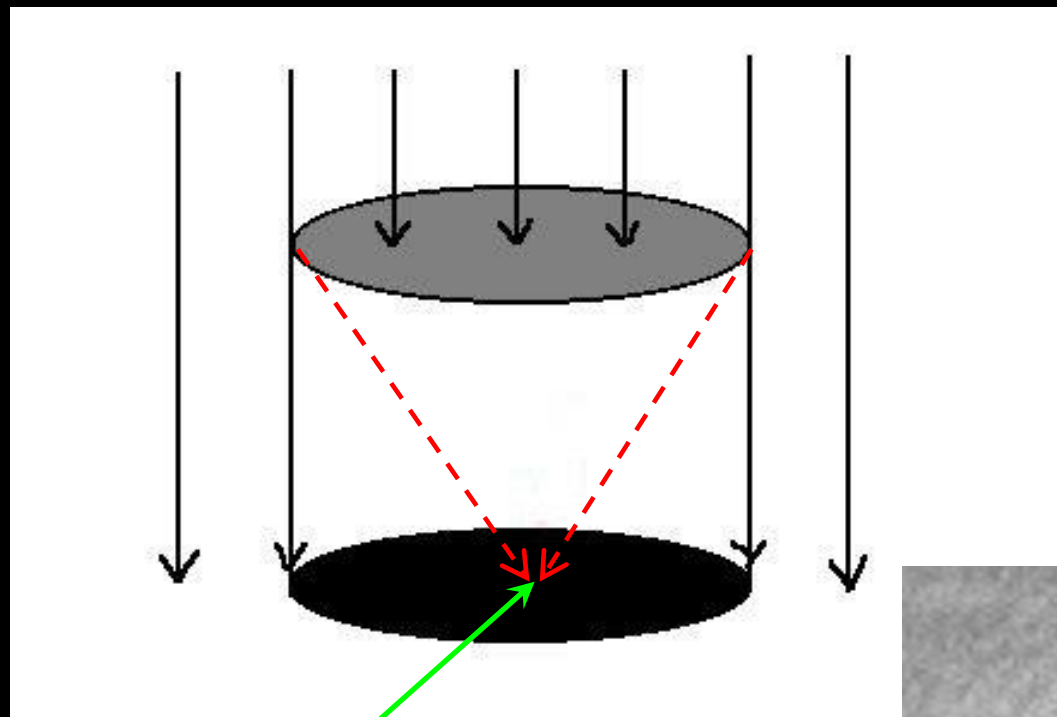


$$E_{(p)} = \iint_s \frac{F(Q) \cdot k(\varphi)}{r} \cdot \cos\left(\omega t - \frac{2\pi r}{\lambda}\right) \cdot ds = E_{0(p)} \cos(\omega t + \varphi_{(p)})$$

P 处波的强度 $I_p \propto E_{0(p)}^2$

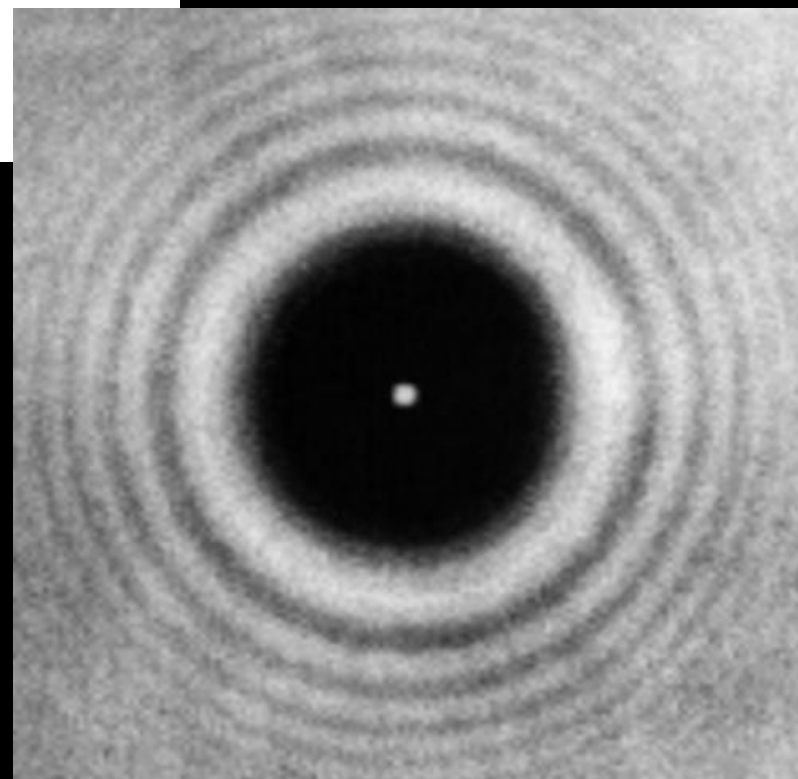
★ 说明

- (1) 对于一般衍射问题，用积分计算相当复杂；
实际中常用**半波带法**和**振幅矢量法**分析。
- (2) 惠更斯—菲涅耳原理在惠更斯原理的基础上给出了次波在传播过程中的**振幅变化**及**位相关系**。



中心处

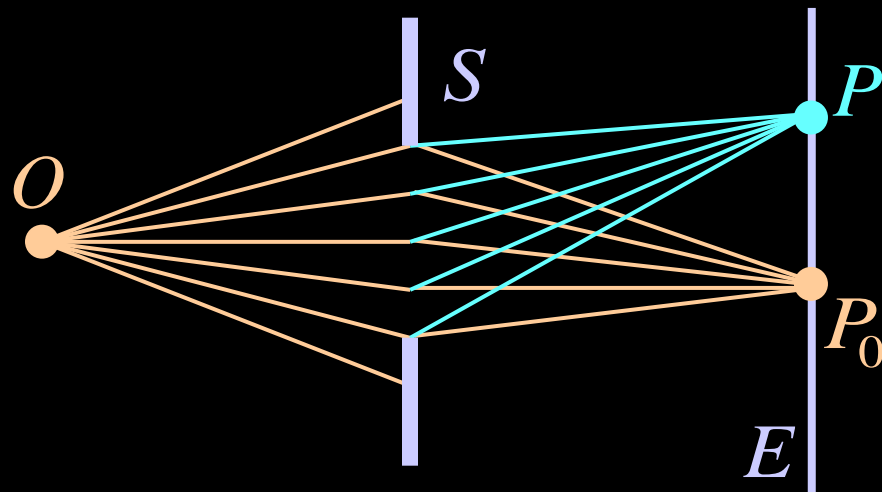
泊松光斑



三. 光的衍射分类

1. 菲涅耳衍射(近场衍射)

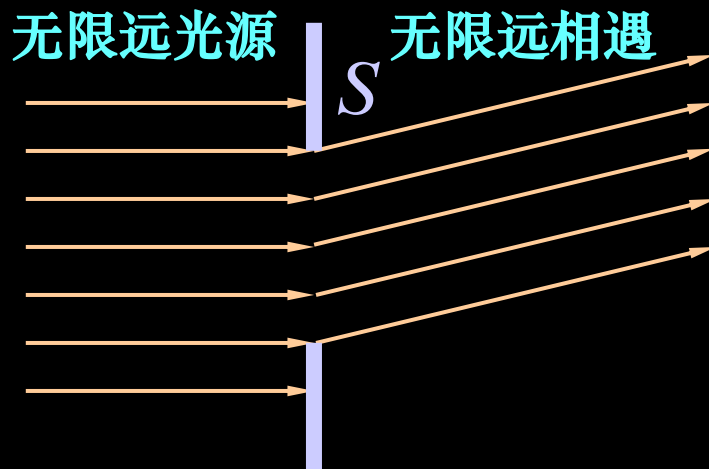
光源 O , 观察屏 E (或二者之一) 到衍射屏 S 的距离为**有限远**的衍射



(菲涅耳衍射)

2. 夫琅禾费衍射(远场衍射)

光源 O , 观察屏 E 到衍射屏 S 的距离均为**无穷远**的衍射



(夫琅禾费衍射)